УДК 537.622 Оригинальная статья

# Анализ параметров доменной структуры монокристаллов RFe<sub>11</sub>Ti (R = Y, Gd, Ho, Er) по данным магнитно-силовой микроскопии

А.М. Гусева, А.И. Синкевич, С.Д. Сметанникова, Е.М. Семенова, Ю.Г. Пастушенков ФГБОУ ВО «Тверской государственный университет» 170100, Россия, Тверская область, Тверь, ул. Желябова, 33 semenova e m@mail.ru

DOI: 10.26456/pcascnn/2024.16.085

Аннотация: Представлены результаты экспериментального исследования магнитной доменной структуры на базисной плоскости монокристаллов  $RFe_{11}Ti$  (R=Y, Gd, Ho, Er) методом магнитно-силовой микроскопии. При комнатной температуре соединения характеризуются магнитокристаллической анизотропией типа намагничивания». На основе данных магнитно-силовой микроскопии определены параметры дополнительных доменов на базисной плоскости образцов. С помощью метода Боденбергера-Хуберта по данным магнитно-силовой микроскопии определены величины поверхностной плотности энергии доменных границ у для всех составов:  $YFe_{11}Ti - 4,05 \text{ мДж/м}^2$ ,  $GdFe_{11}Ti - 5,93 \text{ мДж/м}^2$ ,  $HoFe_{11}Ti - 4,97 \text{ мДж/м}^2$ ,  $ErFe_{11}Ti - 2,98$ мДж/м<sup>2</sup>. Методом подсчета кубов рассчитаны значения фрактальной размерности  $D_L$ полей рассеяния доменной структуры на разной высоте от поверхности (0,1-9 мкм).  $D_L$  на поверхности шлифов имеет значения 2,62 для соединений с R = Y, Gd, Ho и 2,72 для R = Er. Для всех образцов  $D_L$  максимальна вблизи поверхности.

Ключевые слова: редкоземельные интерметаллиды, доменная структура, магнитно-силовая микроскопия, фрактальная размерность.

#### 1. Введение

Редкоземельный интерметаллид типа  $RFe_{12}$  (где R — атом редкоземельного элемента) нестабилен, и для стабилизации его структуры применяется замещение части атомов Fe другим элементом:  $RFe_{12-x}M_x$  (где M — атом замещения) [1-4]. При этом для того, чтобы сохранить высокую намагниченность соединения, замещение должно быть минимальным. Экспериментально было установлено, что замещение Fe на Ti приводит к термодинамической стабильности структуры уже при x=1 [3].

обладают Соединения  $RFe_{11}Ti$ высокой намагниченностью, магнитокристаллической анизотропией И температурой магнитного упорядочения, поэтому рассматриваются специалистами как перспективные функциональные магнитные материалы. Эти характеризуются интерметаллиды тетрагональной кристаллической решеткой со структурой типа  $\mathit{ThMn}_{12}$  (пространственная группа  $I_4 / \mathit{mmm}$ ), широкой областью гомогенности и демонстрируют огромное разнообразие магнитных свойств, включающих наличие спин-переориентационных фазовых переходов, магнитокалорический эффект, магнитострикционный и инварный эффекты [1-10]. Значения температуры Кюри лежат в пределах от 488 до 607 К в зависимости от редкоземельного элемента, причем самые высокие значения соответствуют соединениям с Gd [6, 11]. На составах с © А.М. Гусева, А.И. Синкевич, С.Д. Сметанникова, Е.М. Семенова, Ю.Г. Пастушенков, 2024

Sm было достигнуто высококоэрцитивное состояние что, открывает перспективу применения этих соединений в качестве основы для постоянных магнитов [12]. Основной задачей настоящего исследования является анализ магнитной доменной структуры монокристаллов соединений  $RFe_{11}Ti$  (R=Y,Gd,Ho,Er) с целью определения поверхностной плотности энергии доменных границ.

### 2. Экспериментальные результаты и обсуждение

Исходные сплавы выплавлялись из высокочистых металлов методом высокочастотной индукционной плавки в среде особо чистого аргона. Масса выплавляемых слитков составляла 50-100 г. Из центра слитков выкалывались зерна, которые имели форму четырехгранной призмы. Зерна аттестовывались и для исследования отбирались образцы, которые наилучшим образом соответствовали условиям монокристалличности.

Ha следующем отобранные образцы монокристаллов этапе фиксировались самотвердеющей помощью пластмассы «Протакрил-М» таким образом, чтобы поверхность шлифа была перпендикулярна оси легкого намагничивания, т.е. шлиф приготавливался на базисной плоскости образцов. Шлифовка и полировка образцов выполнялись на алмазных пастах.

Исследования поверхности шлифов проводились методом оптической и магнитно-силовой микроскопии. На металлографическом микроскопе Axiovert 200MAT (Zeiss) выполнялись предварительные исследования магнитной доменной структуры методом полярного эффекта Керра. Однако основной массив исследования доменной структуры в данной работе был выполнен на микроскопе SolverNext (NT-MDT) с применением двухпроходной методики для регистрации полей рассеяния магнитной доменной структуры (ДС). Расстояние между зондом и образцом при втором проходе варьировалось от 0,1 до 9,83 мкм. При сканировании применялся магнитный кантилевер MFM\_LM (TipsNano), предназначенный для образцов с низкой коэрцитивностью.

соответствии диаграммой температурных интервалов существования магнитных фаз соединений  $RFe_{11}Ti$  [9], рассматриваемые составы с R = Y, Gd, Ho, Er при комнатной температуре характеризуются анизотропией (MKA) магнитокристаллической типа легкого намагничивания». Таким образом, на базисной плоскости формироваться дополнительные домены, имеющие форму «звездочек». Все приведенные соединения характеризуются фактором качества Q > 1, поэтому к ним может быть применен метод микромагнитного анализа Боденбергера-Хуберта, который позволяет ПО экспериментально измеренным параметрам доменов на поверхности монокристалла оценить поверхностную плотность энергии доменных границ  $\gamma$  [13]. Для расчета  $\gamma$  используют выражение Боденбергера-Хуберта:

$$\gamma = \frac{DM_S^2}{4\pi\beta},\tag{1}$$

где D — средняя ширина доменов,  $M_s$  — намагниченность насыщения,  $\beta$  — эмпирический коэффициент, равный 0,31 [13].

Изображения полей рассеяния доменной структуры на базисной плоскости монокристаллов  $YFe_{11}Ti$  и  $GdFe_{11}Ti$  представлены на рис. 1, а составов  $HoFe_{11}Ti$  и  $ErFe_{11}Ti$  — на рис. 2. Видно, что конфигурация доменов на всех образцах соответствует типичной структуре «звездочек» характерных для магнетиков с МКА типа «ось легкого намагничивания».

Изначально метод Боденбергера-Хуберта был предложен для анализа изображений доменной структуры, полученных средствами оптической микроскопии. Однако, магнитно-силовая микроскопия позволяет получать изображения поверхности с большим разрешением, поэтому данный метод был адаптирован и применен к МСМ изображениям.

Средняя ширина доменов D определялась на основе экспериментальных MCM изображений полей рассеяния доменной структуры образцов по формуле:

$$D = \frac{2}{\pi} \cdot \frac{1}{n},\tag{2}$$

где n — линейная плотность экстремумов, то есть число экстремумов на единицу длины линии сканирования.

Для увеличения точности расчетов величина n должна определяться на основе МСМ изображения, полученного на минимальной достижимой высоте подъема зонда над образцом z, а в идеальном случае на поверхности образца (z = 0). Экспериментально получить снимок полей рассеяния на поверхности образца не представляется возможным в силу особенностей метода регистрации **MCM** изображения приборных (минимально достижимая высота подъема порядка 0,05-0,15 мкм в зависимости от поверхности). Поэтому в данной работе были получены серии МСМ изображений с варьирующейся в широком интервале высотой подъема z = 0.10-9,83 мкм. На основе полученных серий изображений был произведен расчет линейной плотности экстремумов п для каждого снимка и построены зависимости n(z) (см. рис. 3 (красные точки)). Полученные кривые n(z)были аппроксимированы следующим выражением:

$$n(z) = n_m + \Delta n \cdot e^{-kz} \,, \tag{3}$$

здесь  $\Delta n = n_0 - n_m$ , а  $n_m$  — величина линейной плотности экстремумов в правой части кривых n(z), где эта величина стремится к постоянному

значению (см. рис. 3); k — коэффициент, описывающий скорость падения величины n и имеющий размерность волнового вектора (мкм<sup>-1</sup>);  $n_0$  — искомая величина линейной плотности экстремумов на поверхности образца.

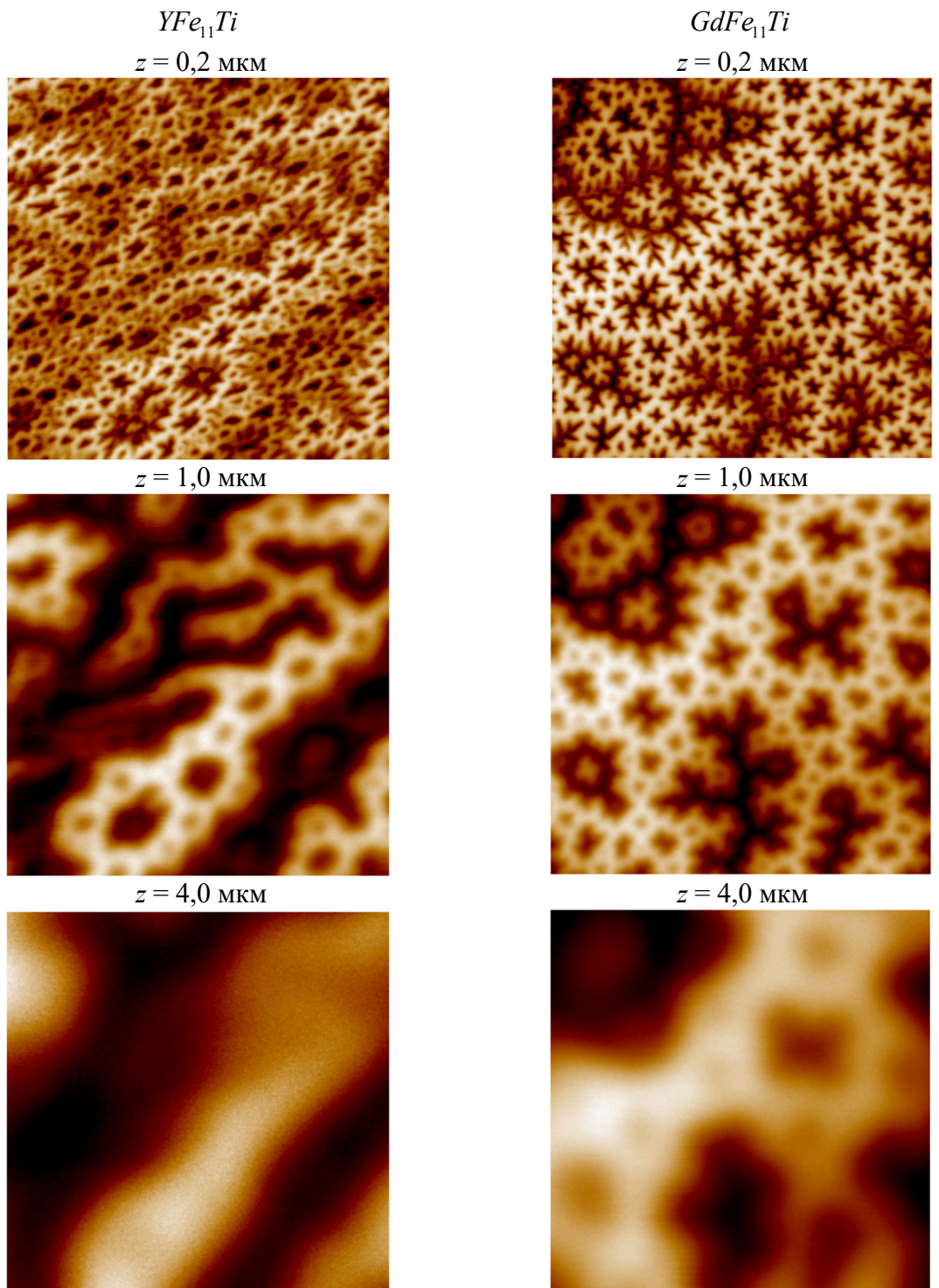


Рис. 1. МСМ изображения, полученные на базисной плоскости монокристаллов  $YFe_{11}Ti$  (масштаб изображения  $30\times30$  мкм) и  $GdFe_{11}Ti$  (масштаб изображения  $50\times50$  мкм) на разной высоте сканирования z.

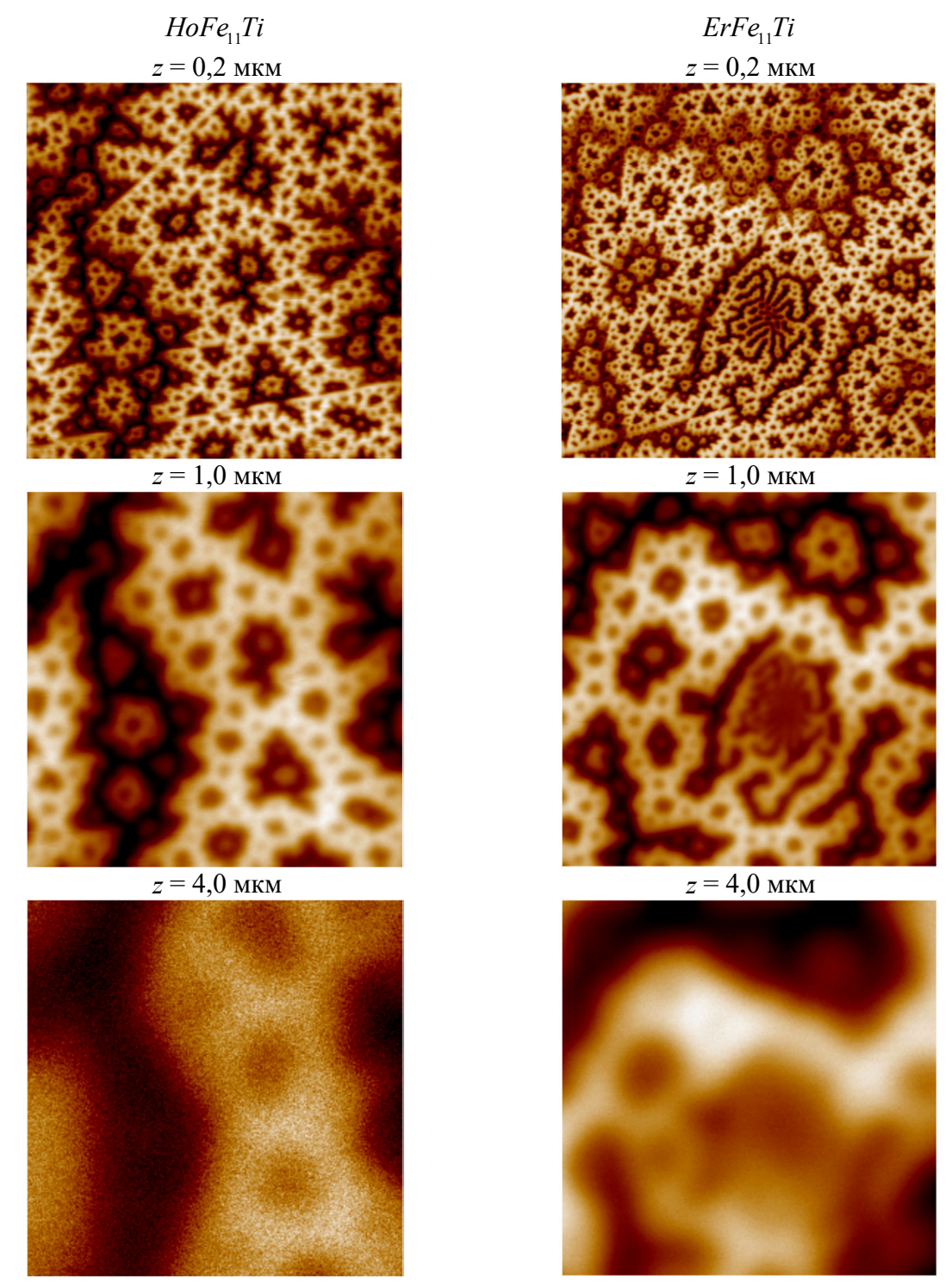


Рис. 2. МСМ изображения, полученные на базисной плоскости монокристаллов  $ErFe_{11}Ti$  (масштаб изображения  $50\times50$  мкм) и  $HoFe_{11}Ti$  (масштаб изображения  $50\times50$  мкм) на разной высоте сканирования z.

В процессе аппроксимации экспериментальных кривых n(z) выражением (3) величина  $n_m$  определялась из самих зависимостей, в то время как величины k и  $n_0$  варьировались так, чтобы наилучшим образом

описать экспериментальные данные. Результат аппроксимации представлен на рис. 3 в виде пунктирных линий, расчетные значения линейной плотности экстремумов на поверхности образца (при z=0) приведены в Таблице 1.

Значения намагниченности насыщения образцов были получены из экспериментальных кривых намагничивания, представленных в работах [5, 6, 13–16]. Конкретные численные значения  $M_s$ , примененные в расчетах, приведены в Таблице 1.

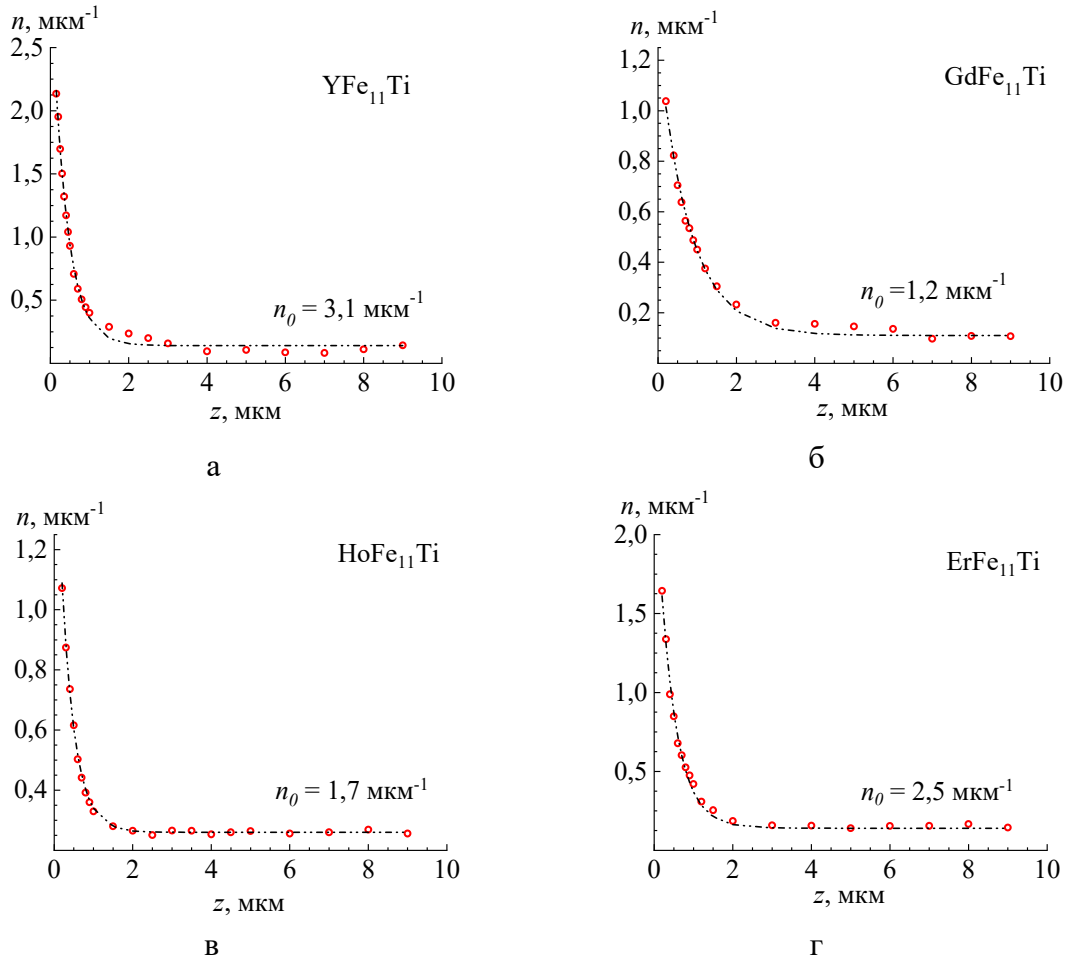


Рис. 3. Зависимость n(z) для монокристаллов:  $a-YFe_{11}Ti$ ,  $6-GdFe_{11}Ti$ ,  $B-HoFe_{11}Ti$ ,  $\Gamma-ErFe_{11}Ti$ .

На основе рассчитанных значений  $n_0$  с помощью выражений (2) и (1) была определена средняя ширина доменов  $D_0$  и микромагнитный параметр поверхностной плотности энергии доменных границ  $\gamma$ . Характеристики монокристаллов и результаты вычислений представлены в Таблице 1. Наименьшее значение поверхностной плотности энергии доменных границ было получено для монокристалла  $ErFe_{11}Ti - 2,98$  мДж/м². Значения  $\gamma$  для остальных составов варьируется в пределах 4,05-5,93 мДж/м².

Редкоземельный элемент	$M_{\scriptscriptstyle S}$ , к ${ m A}/{ m m}$	$n_0$ , mkm <sup>-1</sup>	$D_{\scriptscriptstyle 0}$ , мкм	$\gamma$ , мДж/м $^2$
Y	888,1	3,1	0,21	4,05
Gd	679,5	1,2	0,53	5,93
Но	733,5	1,7	0,37	4,97
Er	668,1	2,5	0,25	2,98

Таблица 1. Характеристики образцов серии  $RFe_{11}Ti$ .

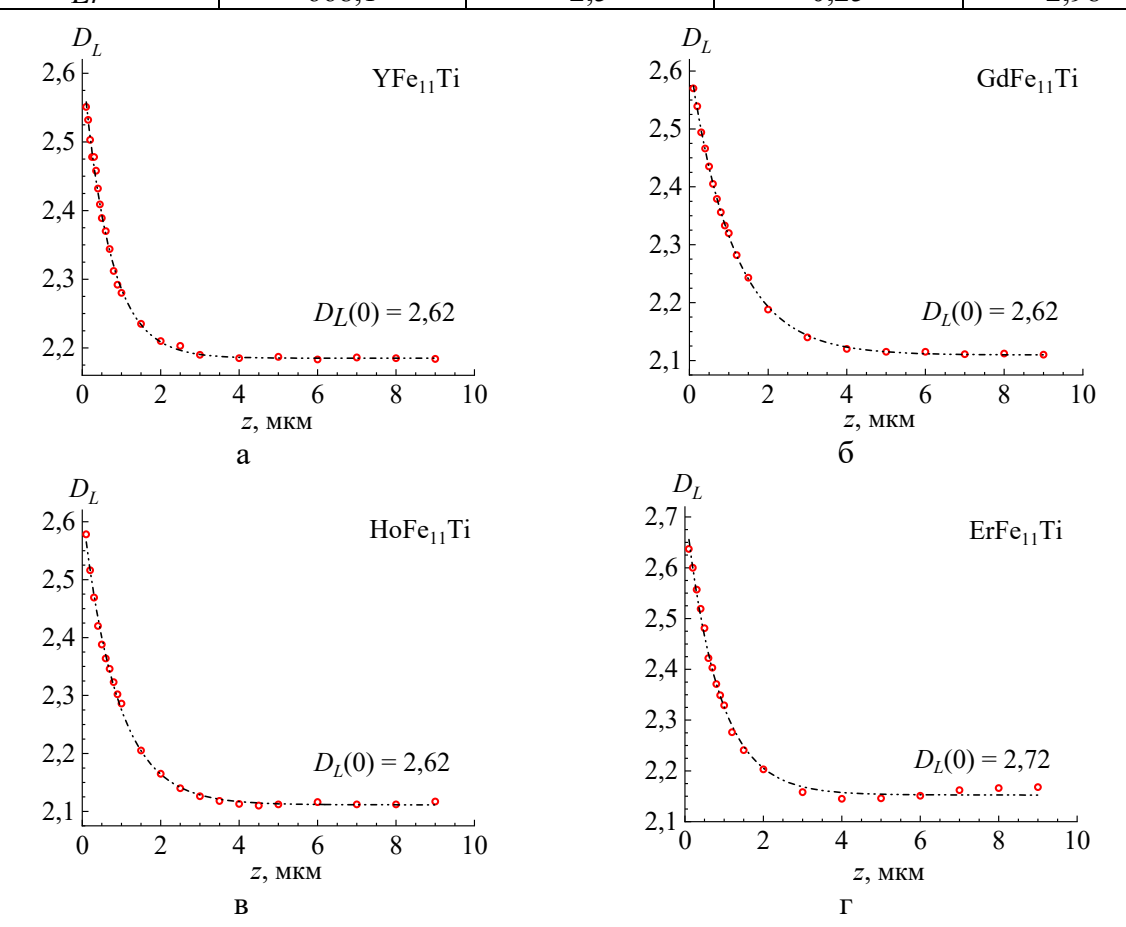


Рис. 4. Зависимость величины фрактальной размерности  $D_L$  полей рассеяния доменной структуры монокристаллов от расстояния z между поверхностью образца и зондом:  $a - YFe_{11}Ti$ ,  $\delta - GdFe_{11}Ti$ ,  $B - HoFe_{11}Ti$ ,  $\Gamma - ErFe_{11}Ti$ .

Также для анализа доменной структуры применялся фрактальный подход. Фрактальная природа доменной структуры магнетиков, фрактальная размерность  $(D_L)$  доменов магнитных пленок, массивных кристаллов и постоянных магнитов анализируется в современной научной литературе [17-21]. В данном исследовании также был выполнен фрактальный анализ МСМ изображений доменной структуры исследуемых монокристаллов.

Фрактальная размерность полей рассеяния доменной структуры определялась методом подсчета кубов с помощью специализированной

компьютерной программы анализа данных C3M Gwyddion (GNU GPL). При этом определение  $D_L$  проводилось по MCM изображениям, полученным на разных высотах z. Полученные зависимости  $D_L(z)$  приведены на рис. 4 для всех образцов. Красные точки соответствуют расчетным значениям  $D_L$ , а штрихпунктирной линией показаны графики аппроксимации этих значений, которые для всех образцов имеют экспоненциальный вид. Интересно, что для составов с Y, Gd и Ho значение фрактальной размерности имеет одинаковое значение -2,62, а для монокристалла  $ErFe_1Ti-2,72$ .

#### 4. Заключение

В работе проведены исследования доменной структуры на базисной плоскости монокристаллов  $RFe_{11}Ti$  (R = Y, Gd, Ho, Er) со структурой  $ThMn_{12}$ методом магнитно-силовой микроскопии. Для определения поверхностной плотности энергии доменных границ использовался метод Боденбергера-Хуберта, который применялся к МСМ-изображениям. Для того, чтобы определить среднюю ширину домена, осуществлялась регистрация полей рассеяния ДС на разной высоте сканирования. После чего график плотности зависимости структуры n(z)аппроксимировался определения плотности структуры на поверхности монокристалла. Используя полученное значение, вычислялась средняя ширина доменов и параметр  $\gamma$ . Определено, что  $\gamma$  имеет следующие значения:  $YFe_{11}Ti$  —  $4,05 \text{ мДж/м}^2$ ,  $GdFe_{11}Ti - 5,93 \text{ мДж/м}^2$ ,  $HoFe_{11}Ti - 4,97 \text{ мДж/м}^2$ ,  $ErFe_{11}Ti 2,98 \text{ мДж/м}^2$ . Фрактальная размерность  $D_L$  имеет значения 2,62 для соединений с R = Y, Gd, Ho и 2,72 - для R = Er.

Работа выполнена при поддержке Министерства науки и высшего образования Российской Федерации в рамках государственной программы в области научноисследовательской деятельности (0817-2023-0006). Экспериментальные данные получены на оборудовании Лаборатории магнитных материалов ЦКП научной аппаратурой и оборудованием ТвГУ.

#### Библиографический список:

- 1. **Hadjipanayis**, **G.C.** ThMn<sub>12</sub>-type alloys for permanent magnets / G.C. Hadjipanayis, A.M. Gabay, A.M. Schönhöbel et al. // Engineering. 2020. V. 6. I. 2. P. 141-147. DOI: 10.1016/j.eng.2018.12.011.
- 2. Ener, S. Twins a weak link in the magnetic hardening of ThMn<sub>12</sub>-type permanent magnets / S. Ener, K.P. Skokov, D. Palanisamy et al. // Acta Materialia. 2021. V. 214. Art. N 116968. 10 p. DOI: 10.1016/j.actamat.2021.116968.
- 3. **De Mooij, D.B.** Some novel ternary ThMn<sub>12</sub>-type compounds / D.B. De Mooij, K.H.J. Buschow // Journal of the Less Common Metals. -1988.-V. 136. -I. 2. -P. 207-215. DOI: 10.1016/0022-5088(88)90424-9.
- 4. **Gabay, A.M.** Recent developments in RFe<sub>12</sub>-type compounds for permanent magnets / A.M. Gabay, G.C. Hadjipanayis // Scripta Materialia. 2018. V. 154. P. 284-288. DOI: 10.1016/j.scriptamat.2017.10.033.
- 5. Bouhbou, M. Electronic structure, hyperfine parameters and magnetic properties of RFe<sub>11</sub>Ti intermetallic

# Физико-химические аспекты изучения кластеров, наноструктур и наноматериалов. — 2024. — Вып. 16

- compounds (R= Y, Pr): Ab initio calculations, SQUID magnetometry and Mössbauer studies / M. Bouhbou, R. Moubah, E.K. Hlil, H. Lassri, L. Bessais // Journal of Magnetism and Magnetic Materials. 2021. V. 518. Art. № 167362. 10 p. DOI: 10.1016/j.jmmm.2020.167362.
- 6. **Guslienko, K.Y.** Magnetic anisotropy and spin-reorientation transitions in RFe<sub>11</sub>Ti (R= Nd, Tb, Dy, Er) rareearth intermetallics / K.Y. Guslienko, X.C. Kou, R. Grössinger // Journal of Magnetism and Magnetic Materials. 1995. V. 150. I. 3. P. 383-392. DOI: 10.1016/0304-8853(95)00282-0.
- 7. **Skokov, K.** Magnetic properties of Gd<sub>3</sub>Fe<sub>x</sub>Ti<sub>3</sub> (x= 34, 33,..., 24), TbFe<sub>11</sub>Ti and TbFe<sub>10</sub>Ti single crystals / K. Skokov, A. Grushishev, A. Khokholkov et al. // Journal of Magnetism and Magnetic Materials. 2004. V. 272. Part 1. P. 374-375. DOI: 10.1016/j.jmmm.2003.11.147.
- 8. **Skokov, K.** Structural and magnetic properties of R<sub>3</sub>Fe<sub>29-x</sub>Ti<sub>x</sub> alloys and R<sub>3</sub>Fe<sub>33-x</sub>Ti<sub>3</sub> single crystals, R= Y, Gd, Tb, Dy, Ho, Er / K. Skokov, A. Grushishev, A. Khokholkov et al. // Journal of Magnetism and Magnetic Materials. 2005. V. 290-291. Part 1. P. 647-650. DOI: 10.1016/j.jmmm.2004.11.322.
- 9. **Semenova, E.** Stress-induced magnetic domain structure in DyFe<sub>11</sub>Ti compound / E. Semenova, M. Lyakhova, D. Karpenkov et al. // EPJ Web of Conferences. EDP Sciences. 2018. V. 185 (Moscow International Symposium on Magnetism (MISM 2017)). Art. № 04027. 4 p. DOI: 10.1051/epjconf/201818504027.
- 10. **Andreev, A.V.** Magnetic and magnetoelastic properties of DyFe<sub>11</sub>Ti single crystals / A.V. Andreev, M.I. Bartashevich, N.V. Kudrevatykh et al. // Physica B: Condensed Matter. 1990. V. 167. I. 2. P. 139-144. DOI: 10.1016/0921-4526(90)90006-G.
- 11. **Horcheni, J.** Exploring crystal structure, hyperfine parameters, and magnetocaloric effect in iron-rich intermetallic alloy with ThMn<sub>12</sub>-type structure: a comprehensive investigation using experimental and DFT calculation / J. Horcheni, H. Jaballah, E. Dhahri, L. Bessais // Magnetochemistry. 2023. V. 9. I. 11. Art. № 230. 16 p. DOI: 10.3390/magnetochemistry9110230.
- 12. **Chen, C.** Effects of thermal annealing on improved magnetic properties and microstructure for SmFe<sub>11</sub>Ti alloy / C. Chen, Y.L. Huang, Y.F. Yao et al. // Journal of Magnetism and Magnetic Materials. 2021. V. 530. Art. № 167950. 5 p. DOI: 10.1016/j.jmmm.2021.167950.
- 13. **Bodenberger, R.** Zur bestimmung der blochwandenergie von einachsigen ferromagneten / R. Bodenberger, A. Hubert // Physica Status Solidi (a). 1977. V. 44. I. 1. P. K7-K11. DOI: 10.1002/pssa.2210440146.
- 14. **Abadía, C.** Study of the crystal electric field interaction in single crystals / C. Abadía, P.A. Algarabel, B. García -Landa et al. // Journal of Physics: Condensed Matter. − 1998. − V. 10. − № 2. − P. 349-361. DOI: 10.1088/0953-8984/10/2/014.
- 15. **Herper, H.C.** Magnetic properties of NdFe<sub>11</sub>Ti and YFe<sub>11</sub>Ti, from experiment and theory / H. Herper, K.P. Skokov, S. Ener et al. // Acta Materialia. -2023. V. 242. Art. № 118473. 12 p. DOI: 10.1016/j.actamat.2022.118473.
- 16. **Li, H.S.** Magnetic properties of ternary rare-earth transition-metal compounds / H.S. Li, J.M.D. Coey // In book: Handbook of Magnetic Materials. Amsterdam: Elsevier, 2019. V. 28. Ch. 3. P. 87-196. DOI: 10.1016/S1567-2719(05)80055-1.
- 17. **Лисовский, Ф.В.** Термодинамически устойчивые фракталоподобные доменные структуры в магнитных пленках / Ф.В. Лисовский, Л.И. Лукашенко, Е.Г. Мансветова // Письма в Журнал экспериментальной и теоретической физики. -2004.-T.79.-Вып. 7.-С. 432-435.
- 18. **Han, B.S.** Fractal study of magnetic domain patterns / B.S. Han, D. Li, D.J. Zheng, Y. Zhou // Physical Review B. 2002. V. 66. I. 1. P. 014433-1-014433-5. DOI: 10.1103/PhysRevB.66.014433.
- 19. **Semenova, E.M.** A comparative analysis of magnetic properties and microstructure of high coercivity Sm(CoCuFe)<sub>5</sub> quasi-binary alloys in the framework of fractal geometry / E.M. Semenova, M.B. Lyakhova, Yu.V. Kuznetsova et al. // Journal of Physics: Conference Series. 2020. V. 1658. Art. № 012050. 6 p. DOI: 10.1088/1742-6596/1658/1/012050.
- 20. Семенова, Е.М. Фрактальная геометрия нано- и магнитной доменной структуры ферромагнитного сплава Sm-Co-Cu-Fe в высококоэрцитивном состоянии // Е.М. Семенова, Д.В. Иванов, М.Б. Ляхова и др. // Известия РАН. Серия физическая. 2021. Т. 85. № 9. С. 1245-1248. DOI: 10.31857/S0367676521090258.
- 21. Зигерт, А.Д. Фрактальный анализ лабиринтной доменной структуры феррит-гранатовых пленок в процессе перемагничивания / А.Д. Зигерт, Г.Г. Дунаева, Н.Ю. Сдобняков // Физико-химические аспекты изучения кластеров, наноструктур и наноматериалов. 2021. Вып. 13. С. 134-145. DOI: 10.26456/pcascnn/2021.13.134.

#### **References:**

1. Hadjipanayis G.C., Gabay A.M., Schönhöbel A.M. et al. ThMn<sub>12</sub>-type alloys for permanent magnets,

# Физико-химические аспекты изучения кластеров, наноструктур и наноматериалов. — 2024. — Вып. 16

- Engineering, 2020, vol. 6, issue 2, pp. 141-147. DOI: 10.1016/j.eng.2018.12.011.
- 2. Ener S., Skokov K.P., Palanisamy D. et al. Twins a weak link in the magnetic hardening of ThMn<sub>12</sub>-type permanent magnets, *Acta Materialia*, 2021, vol. 214, art. no. 116968, 10 p. DOI: 10.1016/j.actamat.2021.116968.
- 3. De Mooij D.B., Buschow K.H.J. Some novel ternary ThMn<sub>12</sub>-type compounds, *Journal of the Less Common Metals*, 1988, vol. 136, issue 2, pp. 207-215. DOI: 10.1016/0022-5088(88)90424-9.
- 4. Gabay A.M., Hadjipanayis G.C. Recent developments in RFe<sub>12</sub>-type compounds for permanent magnets, *Scripta Materialia*, 2018, vol. 154, pp. 284-288. DOI: 10.1016/j.scriptamat.2017.10.033.
- 5. Bouhbou M., Moubah R., Hlil E.K., Lassri H., Bessais L. Electronic structure, hyperfine parameters and magnetic properties of RFe<sub>11</sub>Ti intermetallic compounds (R= Y, Pr): ab initio calculations, SQUID magnetometry and Mössbauer studies, *Journal of Magnetism and Magnetic Materials*, 2021, vol. 518, art. no. 167362, 10 p. DOI: 10.1016/j.jmmm.2020.167362.
- 6. Guslienko K.Y., Kou X.C., Grössinger R. Magnetic anisotropy and spin-reorientation transitions in RFe<sub>11</sub>Ti (R= Nd, Tb, Dy, Er) rare-earth intermetallics, *Journal of Magnetism and Magnetic Materials*, 1995, vol. 150, issue 3, pp. 383-392. DOI: 10.1016/0304-8853(95)00282-0.
- 7. Skokov K., Grushishev A., Khokholkov A. et al. Magnetic properties of Gd<sub>3</sub>Fe<sub>x</sub>Ti<sub>3</sub> (x= 34, 33,..., 24), TbFe<sub>11</sub>Ti and TbFe<sub>10</sub>Ti single crystals, *Journal of Magnetism and Magnetic Materials*, 2004, vol. 272, part 1, pp. 374-375. DOI: 10.1016/j.jmmm.2003.11.147.
- 8. Skokov K., Grushishev A., Khokholkov A. et al. Structural and magnetic properties of R<sub>3</sub>Fe<sub>29-x</sub>Ti<sub>x</sub> alloys and R<sub>3</sub>Fe<sub>33-x</sub>Ti<sub>3</sub> single crystals, R= Y, Gd, Tb, Dy, Ho, Er, *Journal of Magnetism and Magnetic Materials*, 2005, vol. 290-291, part 1, pp. 647-650. DOI: 10.1016/j.jmmm.2004.11.322.
- 9. Semenova E., Lyakhova M., Karpenkov D. et al. Stress-induced magnetic domain structure in DyFe<sub>11</sub>Ti compound, *EPJ Web of Conferences*. *EDP Sciences*, 2018, vol. 185 (Moscow International Symposium on Magnetism (MISM 2017)), art. no. 04027, 4 p. DOI: 10.1051/epjconf/201818504027.
- 10. Andreev A.V., Bartashevich M.I., Kudrevatykh N.V. et al. Magnetic and magnetoelastic properties of DyFe<sub>11</sub>Ti single crystals, *Physica B: Condensed Matter*, 1990, vol. 167, issue 2, pp. 139-144. DOI: 10.1016/0921-4526(90)90006-G.
- 11. Horcheni J., Jaballah H., Dhahri E., Bessais L. Exploring crystal structure, hyperfine parameters, and magnetocaloric effect in iron-rich intermetallic alloy with ThMn<sub>12</sub>-type structure: a comprehensive investigation using experimental and DFT calculation, *Magnetochemistry*, 2023, vol. 9, issue 11, art. no. 230, 16 p. DOI: 10.3390/magnetochemistry9110230.
- 12. Chen C., Huang Y.L., Yao Y.F. et al. Effects of thermal annealing on improved magnetic properties and microstructure for SmFe<sub>11</sub>Ti alloy, *Journal of Magnetism and Magnetic Materials*, 2021, vol. 530, art. no. 167950, 5 p. DOI: 10.1016/j.jmmm.2021.167950.
- 13. Bodenberger R., Hubert A. Zur bestimmung der blochwandenergie von einachsigen ferromagneten, *Physica Status Solidi (a)*, 1977, vol. 44, issue 1, pp. K7-K11. DOI: 10.1002/pssa.2210440146.
- 14. Abadía C., Algarabel P.A., García-Landa B. et al. Study of the crystal electric field interaction in single crystals, *Journal of Physics: Condensed Matter*, 1998, vol. 10, no. 2, pp. 349-361. DOI: 10.1088/0953-8984/10/2/014.
- 15. Herper H., Skokov K.P., Ener S. et al. Magnetic properties of NdFe<sub>11</sub>Ti and YFe<sub>11</sub>Ti, from experiment and theory, *Acta Materialia*, 2023, vol. 242, art. no. 118473, 12 p. DOI: 10.1016/j.actamat.2022.118473.
- 16. Li H.S., Coey J.M.D. Magnetic properties of ternary rare-earth transition-metal compounds, *Handbook of Magnetic Materials*, Amsterdam, Elsevier, 2019, vol. 28, chapter 3, pp. 87-196. DOI: 10.1016/bs.hmm.2019.10.001.
- 17. Lisovskii F.V., Lukashenko L.I., Mansvetova E.G. Thermodynamically stable fractal-like domain structures in magnetic films, *Journal of Experimental and Theoretical Physics Letters*, 2004, vol.79, issue 7, pp. 352-354. DOI: 10.1134/1.1765181.
- 18. Han B.S., Li D., Zheng D.J., Zhou Y. Fractal study of magnetic domain patterns, *Physical Review B*, 2002, vol. 66, issue 1, pp. 014433-1-014433-5. DOI: 10.1103/PhysRevB.66.014433.
- 19. Semenova E.M., Lyakhova M.B., Kuznetsova Yu.V. et al. A comparative analysis of magnetic properties and microstructure of high coercivity Sm(Co,Cu,Fe)<sub>5</sub> quasi-binary alloys in the framework of fractal geometry, *Journal of Physics: Conference Series*, 2020, vol. 1658, art. no. 012050, 6 p. DOI: 10.1088/1742-6596/1658/1/012050.
- 20. Semenova E.M., Ivanov D.V., Lyakhova M.B. et al. Fractal geometry of the nano- and magnetic domain structures of Sm-Co-Cu-Fe ferromagnetic alloy in a high coercive state, *Bulletin of the Russian Academy of Sciences: Physics*, 2021, vol. 85, issue 9, pp. 955-958. DOI: 10.3103/S1062873821090252.
- 21. Zigert A.D., Dunaeva G.G., Sdobnyakov N.Yu. Fraktal'nyj analiz labirintnoj domennoj struktury ferritgranatovykh plenok v protsesse peremagnichivaniya [Fractal analysis of the maze-like domain structure of

# Физико-химические аспекты изучения кластеров, наноструктур и наноматериалов. — 2024. — Вып. 16

ferrite-garnet films in the process of magnetization], *Fiziko-khimicheskie aspekty izucheniya klasterov,* nanostruktur i nanomaterialov [Physical and chemical aspects of the study of clusters, nanostructures and nanomaterials], 2021, issue 13, pp. 134-145. DOI: 10.26456/pcascnn/2021.13.134. (In Russian).

Original paper

### Analysis of domain structure parameters of RFe<sub>11</sub>Ti (R = Y, Gd, Ho, Er) single crystals based on magnetic force microscopy data

A.M. Guseva, A.I. Sinkevich, S.D. Smetannikova, E.M. Semenova, Yu.G. Pastushenkov Tver State University, Tver, Russia

DOI: 10.26456/pcascnn/2024.16.085

**Abstract:** The results of an experimental study of the magnetic domain structure on the basal plane of  $RFe_{11}Ti$  single crystals (R=Y, Gd, Ho, Er) by magnetic force microscopy are presented. At room temperature, the compounds are characterized by magnetocrystalline anisotropy of the «easy axis» type. Based on the magnetic force microscopy data, the sizes of domains on the basal plane of the samples were determined. Using the Bodenberger-Hubert method, the surface energy density of domain walls  $\gamma$  was determined for all compounds based on the magnetic force microscopy data:  $YFe_{11}Ti - 4,05 \text{ mJ/m}^2$ ,  $GdFe_{11}Ti - 5,93 \text{ mJ/m}^2$ ,  $HoFe_{11}Ti - 4,97 \text{ mJ/m}^2$ ,  $ErFe_{11}Ti - 2,98 \text{ mJ/m}^2$ . The cube counting method was used to calculate the fractal dimension  $D_L$  of the stray fields of the domain structure at different heights from the surface  $(0,1-9 \text{ }\mu\text{m})$ .  $D_L$  on the surface of the z(0) sections has values of 2,62 for compounds with R=Y, Gd, Ho and 2,72 for R=Er. For all samples,  $D_L$  has a maximum near the surface.

Keywords: rare earth intermetallic compounds, domain structure, magnetic force microscopy, fractal dimension.

Гусева Анна Марковна — студент 4 курса, физико-технический факультет, ФГБОУ ВО «Тверской государственный университет»

Синкевич Артем Игоревич – старший преподаватель кафедры физики конденсированного состояния, ФГБОУ ВО «Тверской государственный университет»

Сметанникова Софья Дмитриевна— студент 2 курса, физико-технический факультет, ФГБОУ ВО «Тверской государственный университет»

Семенова Елена Михайловна – к.ф.-м.н., доцент кафедры физики конденсированного состояния, ФГБОУ ВО «Тверской государственный университет»

Пастушенков Юрий Григорьевич – д.ф.-м.н., профессор кафедры физики конденсированного состояния, ФГБОУ ВО «Тверской государственный университет»

Anna M. Guseva — 4<sup>th</sup> year student, Faculty of Physics and Technology, Tver State University Artem I. Sinkevich — senior lecturer, Condensed Matter Physic Department, Tver State University Sofia D. Smetannikova — 2<sup>nd</sup> year student, Faculty of Physics and Technology, Tver State University Elena M. Semenova — Ph. D., Docent, Condensed Matter Physics Department, Tver State University Yuriy G. Pastushenkov — Professor, Condensed Matter Physics Department, Tver State University

Поступила в редакцию/received: 10.09.2024; после рецензирования/revised: 16.10.2024; принята/accepted: 20.10.2024.